

МОДИФИКАЦИЯ СВОЙСТВ БЕНТОНИТА НАНОЧАСТИЦАМИ ОКСИДОВ ЖЕЛЕЗА

А.В. Носков^{1,*}, О.В. Алексеева¹, Д.Н. Яшкова¹, А.В. Агафонов¹, М.Н. Шипко², М.А. Степович^{3,}, Е.С. Савченко⁴**

¹ Институт химии растворов им. Г.А. Крестова РАН, г. Иваново, *avn@isc-ras.ru

² Ивановский государственный энергетический университет им. В.И. Ленина, г. Иваново

³ Калужский государственный университет им. К.Э. Циолковского, г. Калуга, **m.stepovich@mail.ru

⁴ Национальный исследовательский технологический университет «МИСИС», г. Москва

Методом химического соосаждения синтезированы смешанный твердый раствор магнетит/маггемит и композиционный материал бентонит/оксиды железа. Установлено, что композит бентонит/оксиды железа характеризуется значительно меньшей остаточной намагниченностью и большей коэрцитивной силой по сравнению с порошком $\text{Fe}_3\text{O}_4/\gamma\text{-Fe}_2\text{O}_3$. На основании данных электронной микроскопии, рентгеновской дифракции и мессбауэровской спектроскопии сделан вывод о влиянии бентонита на структурные особенности магнетита/маггемита в композите.

В качестве объекта исследования был использован композит на основе бентонита Дашибалхинского месторождения (Азербайджан) и оксидов железа Fe_3O_4 и $\gamma\text{-Fe}_2\text{O}_3$, которые были получены методом химического соосаждения солей железа $\text{FeCl}_3 \cdot 6\text{H}_2\text{O}$ и $\text{FeSO}_4 \cdot 7\text{H}_2\text{O}$ в порах и на поверхности частиц бентонита.

На рис. 1 приведены полученные методом РГА дифрактограммы синтезированных оксида железа и композита бентонит/оксид железа. Положения дифракционных пиков практически совпадают для магнетита и маггемита, т.к. эти оксиды обладают общей шпинельной структурой кристаллической решетки, что существенно затрудняет идентификацию Fe_3O_4 и $\gamma\text{-Fe}_2\text{O}_3$ на дифрактограммах.

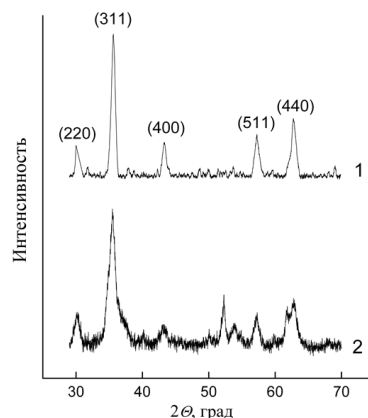


Рис. 1. Дифрактограммы образцов: 1 – смеси оксидов железа; 2 – композита бентонит/оксиды железа.

Результаты оценки дефектности синтезированных материалов приведены в табл. 1.

Табл. 1. Точечная дефектность синтезированных материалов по данным рентгеновских исследований

Дифракционный угол 2θ, град.	Индексы Millera hkl	Межплоскостное расстояние d _{hkl} , нм	Длина ребра элементарной ячейки a, нм	Средняя стехиометрия <I-δ>
Магнетит/маггемит				
30.21	220	0.296	0.837	2.793
35.61	311	0.252	0.836	
43.30	400	0.209	0.836	
57.26	511	0.161	0.836	
62.94	440	0.148	0.835	
Композит бентонит/оксиды железа				
30.26	220	0.295	0.835	2.833
35.50	311	0.253	0.839	
57.25	511	0.161	0.836	
62.85	440	0.148	0.836	

Для $\text{Fe}_3\text{O}_4/\gamma\text{-Fe}_2\text{O}_3$ средняя длина ребра элементарной ячейки составляет 0.836 ± 0.001 нм, а синтезированный материал представляет собой смесь магнетит/маггемит с химической формулой $\text{Fe}_{2.793}\text{O}_4$. С другой стороны, $\text{Fe}_3\text{O}_4/\gamma\text{-Fe}_2\text{O}_3$ в составе композита с бентонитом характеризуется меньшей средней дефектностью ($<\delta>=2.833$) по сравнению с синтезированным $\text{Fe}_{2.793}\text{O}_4$. Это свидетельствует в пользу предположения, что бентонит тормозит окисление ионов Fe^{2+} в магнетите и тем самым способствует формированию структуры с меньшей концентрацией ионов Fe^{3+} .

Намагниченность насыщения смеси оксидов указывает на присутствие в смеси ферромагнитных частиц $\gamma\text{-Fe}_2\text{O}_3$, Fe_3O_4 , а также на наличие значительных по объему поверхностных слоев с пониженными значениями магнитных моментов ионов железа – см. табл. 2.

Таблица 2. Параметры петель магнитного гистерезиса

Намагниченность насыщения M _s , A·м ² /кг	Остаточная намагниченность, M _r , A·м ² /кг	Коэрцитивная сила H _c , A/m	Напряженность поля анизотропии H _a , A/m	Коэффициент прямоугольности M _r /M _s	Площадь петли S, A ² ·м/кг
Магнетит/маггемит					
72.86	6.47	5.71	2338	0.089	3.3
Композит бентонит/оксиды железа					
18.95	0.98	8.5	3510	0.052	7.25

Для выяснения механизмов существенного понижения намагниченности образцов композита и повышения его коэрцитивной силы по сравнению с порошком $\text{Fe}_3\text{O}_4/\gamma\text{-Fe}_2\text{O}_3$ были выполнены мёссбауэровские исследования. Получено, что при формировании композита повышается степень стехиометрии магнетита, увеличивается его концентрация в смеси, а также концентрация ионов Fe^{2+} , что коррелирует с уменьшением соотношения Fe:O и преимущественной локализацией Fe_3O_4 на поверхности частиц композита. Это указывает на торможение процесса окисления железа в композите.

ВЫВОД

Изучены свойства твердых растворов магнетит/маггемит и железосодержащих бентонитов, синтезированных методом химического соосаждения из водных растворов солей железа. Установлено, что при переходе от порошка смеси оксидов к композиту значения остаточной намагниченности и намагниченности насыщения значительно уменьшаются, тогда как для магнитных параметров, определяемых кристаллографической анизотропией и анизотропией формы частиц, наблюдается противоположная тенденция. Показано, что магнитные свойства композитов зависят от характера локализации оксидов железа, соотношения их концентраций.